



### 3. 実験結果および考察

#### (1) はりの試験結果

はり供試体はすべて曲げ破壊した。試験結果および終局荷重計算結果を表3に示す。ここで  $P_{ce}$ : ひびわれ荷重,  $P_y$ : 鋼筋屈筋荷重,  $P_u$ : 最大荷重,  $P_{uc}$ : 終局荷重計算値である。終局荷重算定は次式によつた。 $M_u = A_s \sigma_{sy} (d - \frac{a}{2}) + \gamma_E b(h-x)(\frac{h}{2} + \frac{x}{2} - \frac{a}{2})$

鋼鉄維補強コンクリート (I) 供試体 BA ~ BD については実験値と計算値はよく一致した。

#### (2) 床版の試験結果と考察

図2は床版下面中央点における荷重-たわみ曲線を示す。これらの曲線から、鋼鉄維補強鉄筋コンクリートスラブの荷重-たわみ曲線の概形を図3のように3つの折れ線で変化をとらえて、破壊形式を分類できると思われる。第Ⅰ段階まで破壊するものは曲げせん断破壊、第Ⅱ・Ⅲ段階の変化点で破壊するものを曲げせん断破壊、第Ⅲ段階で破壊するものを曲げ破壊と考えると、本実験の供試体では SA, SB, SC, SE が曲げせん断破壊、SDA が曲げ破壊と判斷できる。

表4に床版の実験値と Moe, Hognestad, Mowrer による終局荷重計算値を比較した結果を示す。算定は次式によつた。

$$Moe: \quad V_u = \frac{3.97(1 - 0.075/r/\lambda)}{1 + 1.39bd/\sqrt{\epsilon}, V_f} bd\sqrt{\epsilon}$$

$$Hognestad: \quad V_u = \frac{2.2 + (1 - 0.075/r/\lambda)}{1 + 0.78bd/\sqrt{\epsilon}, V_f} bd\sqrt{\epsilon}$$

$$Mowrer: \quad V_u = \frac{2.57(1 + d/r)}{1 + 1.39bd/\sqrt{\epsilon}, V_f} - bd\sqrt{\epsilon}$$

各式の鋼鉄維補強鉄筋コンクリートスラブの適用性を検討した結果、図4でも明らかのように曲げ破壊を生じたSD供試体を除けば、各式とも適合し、中でも Mowrer および Hognestad (1) (  $\epsilon_{cu}$  に引張強度を代入して求めた値) および Hognestad (2) (  $\epsilon_{cu}$  に引張強度を代入して求めた値) よりもよい適合性を示した。これらから、鉄筋コンクリート床版に対するこれら3種算式は、鋼鉄維補強鉄筋コンクリートスラブに対して十分適用可能であることがわかった。また図5は横軸に有效高さ (版厚), 継軸に終局荷重をとったものであるが、これより RC 床版の版厚 8 cm ( $d = 6 \text{ cm}, p = 0.69\%$ ) は FRC 床版の版厚 7 cm ( $d = 5 \text{ cm}, p = 0.79\%$ ) 比較して約 20% 程度減少可能であることが明らかとなる。

表3 はり試験結果

	$P_{ce}$	$P_y$	$P_u$	$P_{uc}$	$P_u/P_{uc}$
BA	0.39	2.77	2.83	2.47	1.15
BB	0.23	1.62	1.72	1.56	1.10
BC	0.13	1.05	1.20	1.14	1.05
BD	0.06	0.81	0.81	0.74	1.09
BE	0.70	2.30	2.55	1.45	1.76

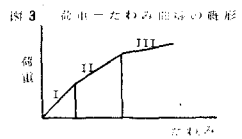
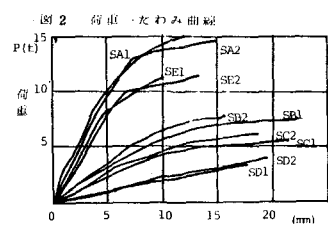


表4 計算結果との比較

	$P_{test}$	Equation	$P_{cal}$	$P_{test}/P_{cal}$
SA	16.0	Moe	11.5	1.39
	14.5	Hognestad (1)	13.1	1.22
		(2)	10.7	1.50
SB	8.1	Mowrer	13.2	1.21
	8.5	Moe	6.7	1.21
		Hognestad (1)	7.5	1.08
SC	5.8	(2)	6.2	1.31
	6.25	Mowrer	7.4	1.09
		Moe	4.9	1.32
SD	4.5	Hognestad (1)	4.9	1.18
	5.0	(2)	4.1	1.41
		Mowrer	5.0	1.16

図4 計算結果との比較

